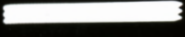
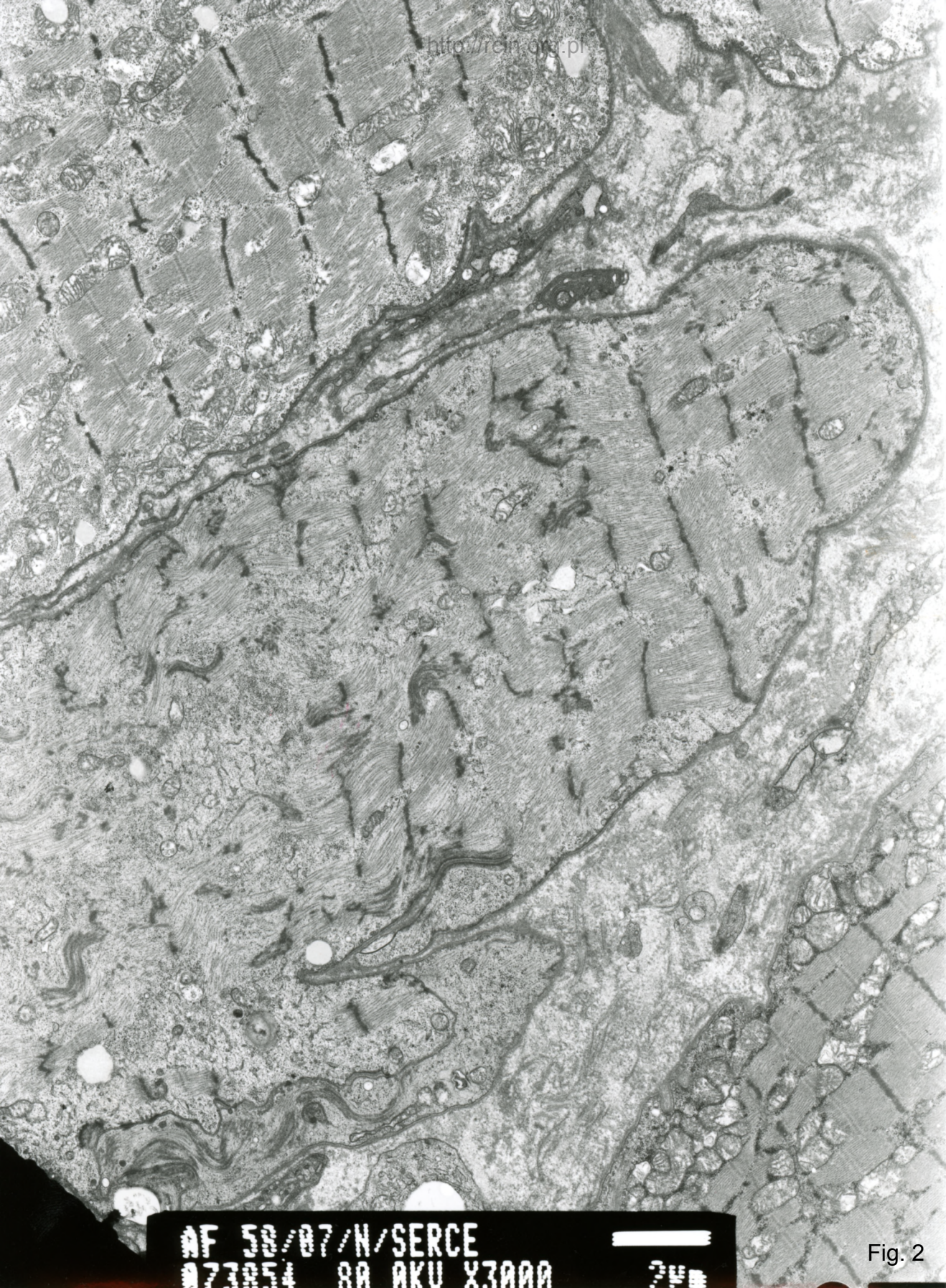


AF 58/07/SERCE
074604 80.0KV X4000



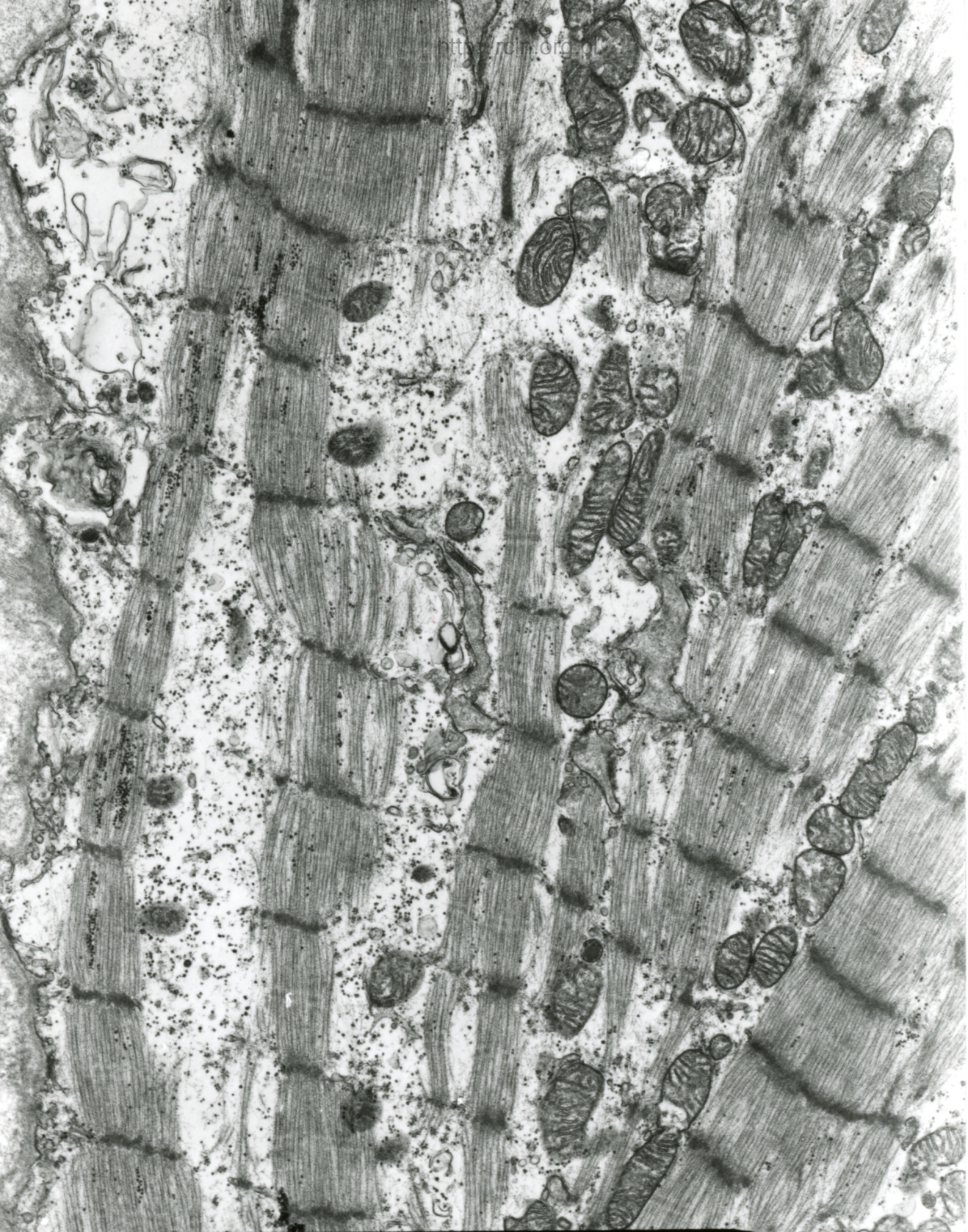
2µm

Fig. 1



AF 58/87/N/SERCE
073854 88 AKU X3000

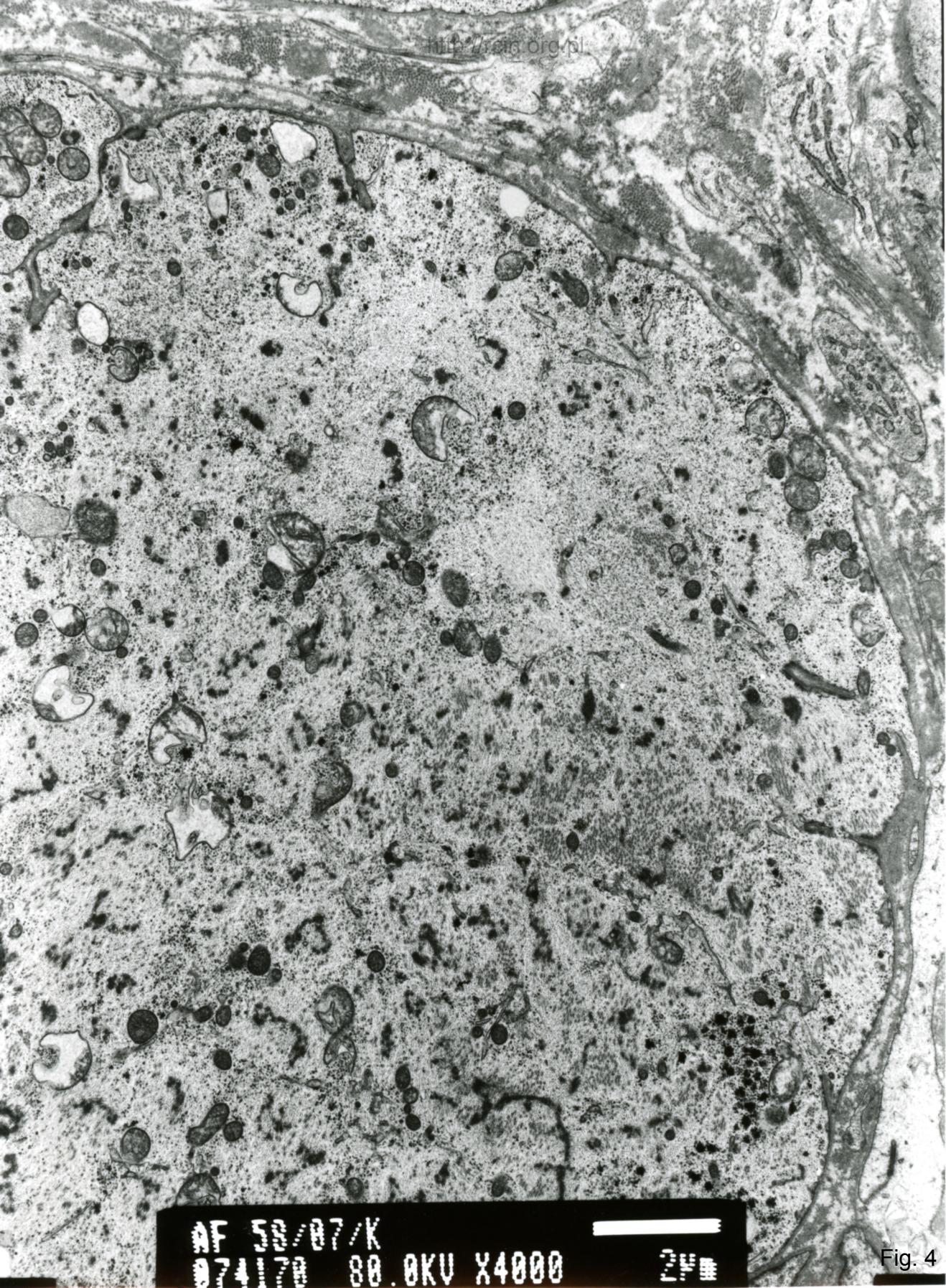
Fig. 2



AF 58/07/
073002 80.0KV X6000

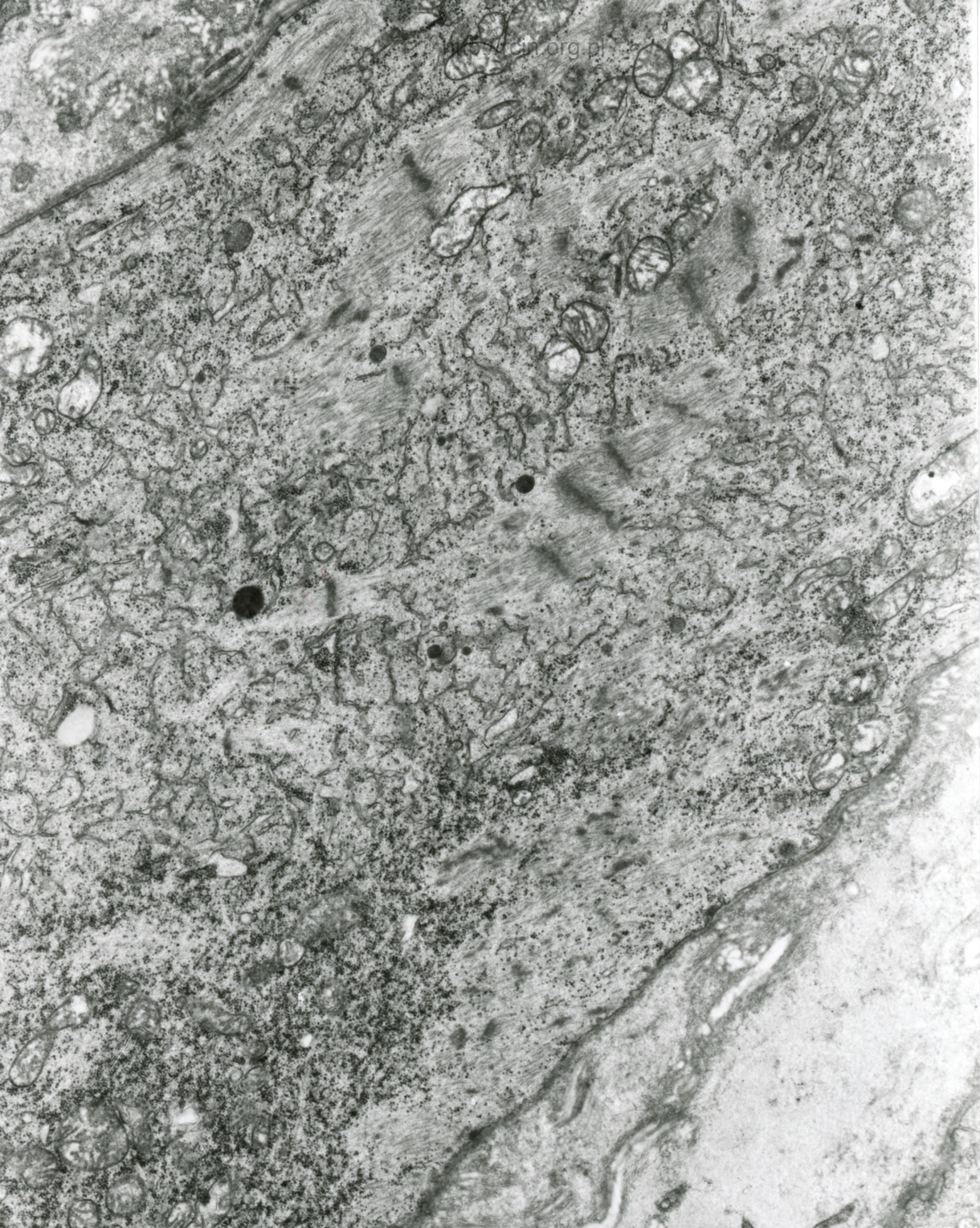


Fig. 3



AF 58/07/K
074170 80.0KV X4000 24

Fig. 4



AF 58/07/...
073070 80.0KV X5000

Fig. 5



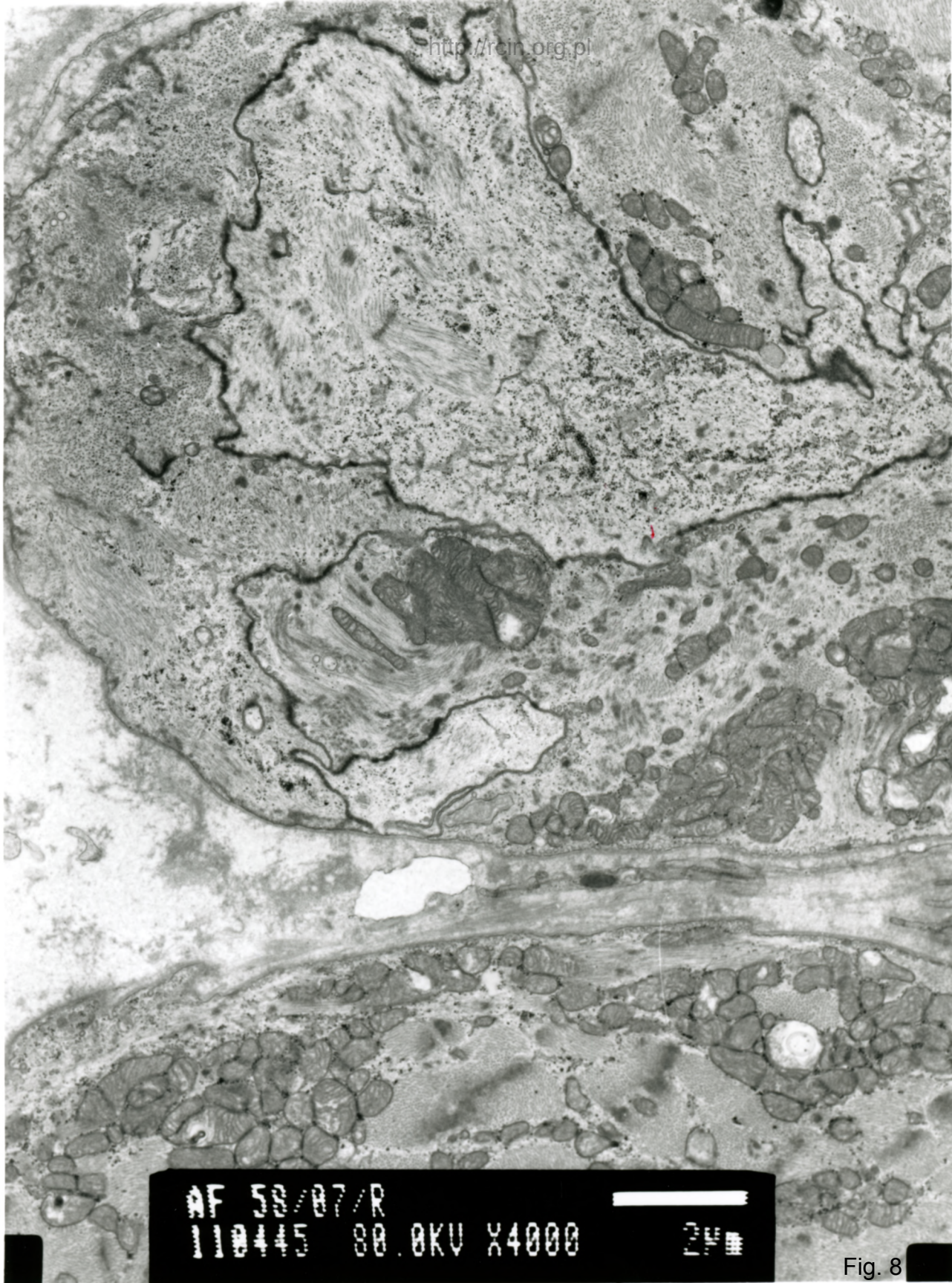
AF 58/87/0
073645 80 0KV X6000

Fig. 6



AF 58/87/
073000 8A AKU X3000 24

Fig. 7



AF 53/07/R
110445 80.0KV X4000 24

Fig. 8

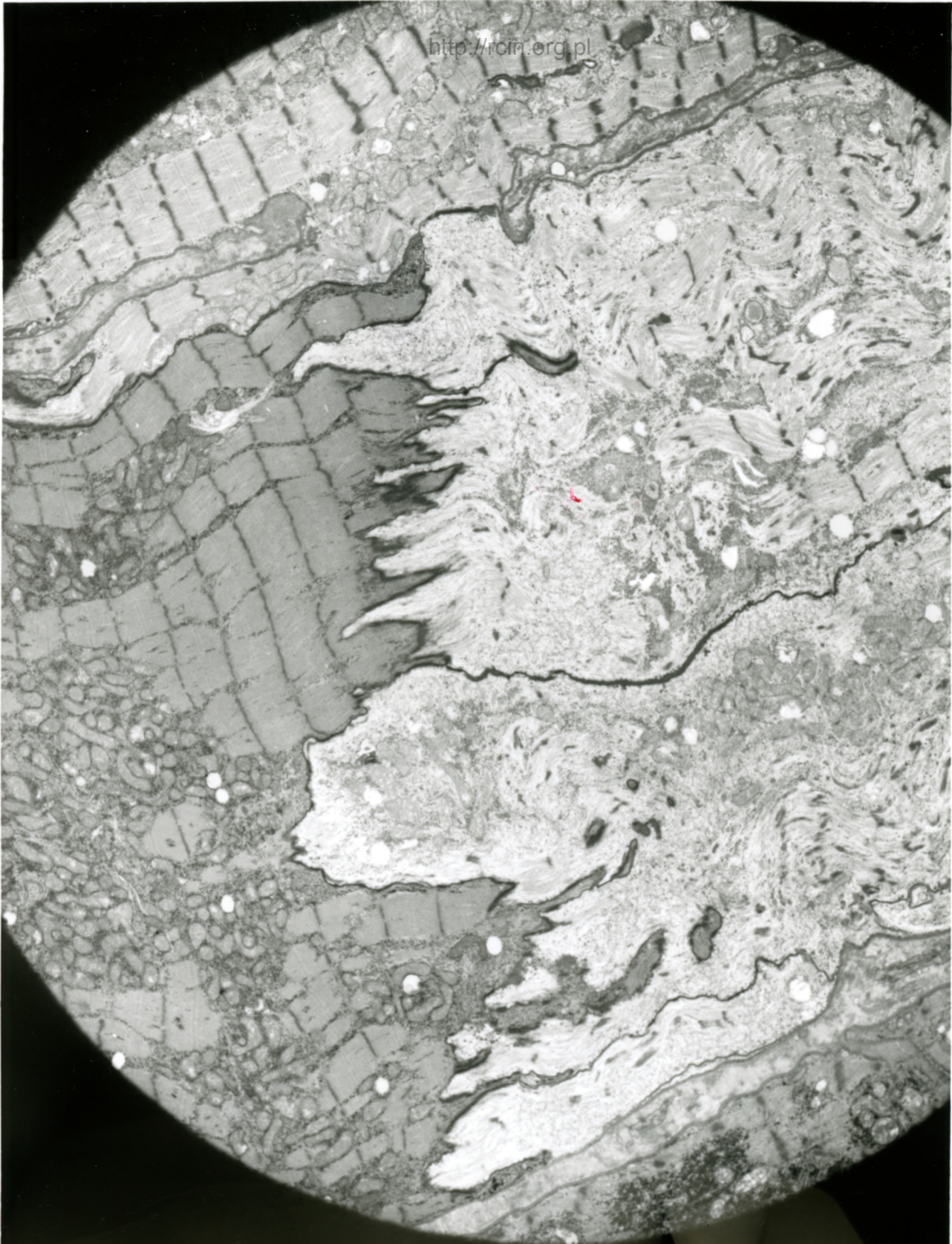
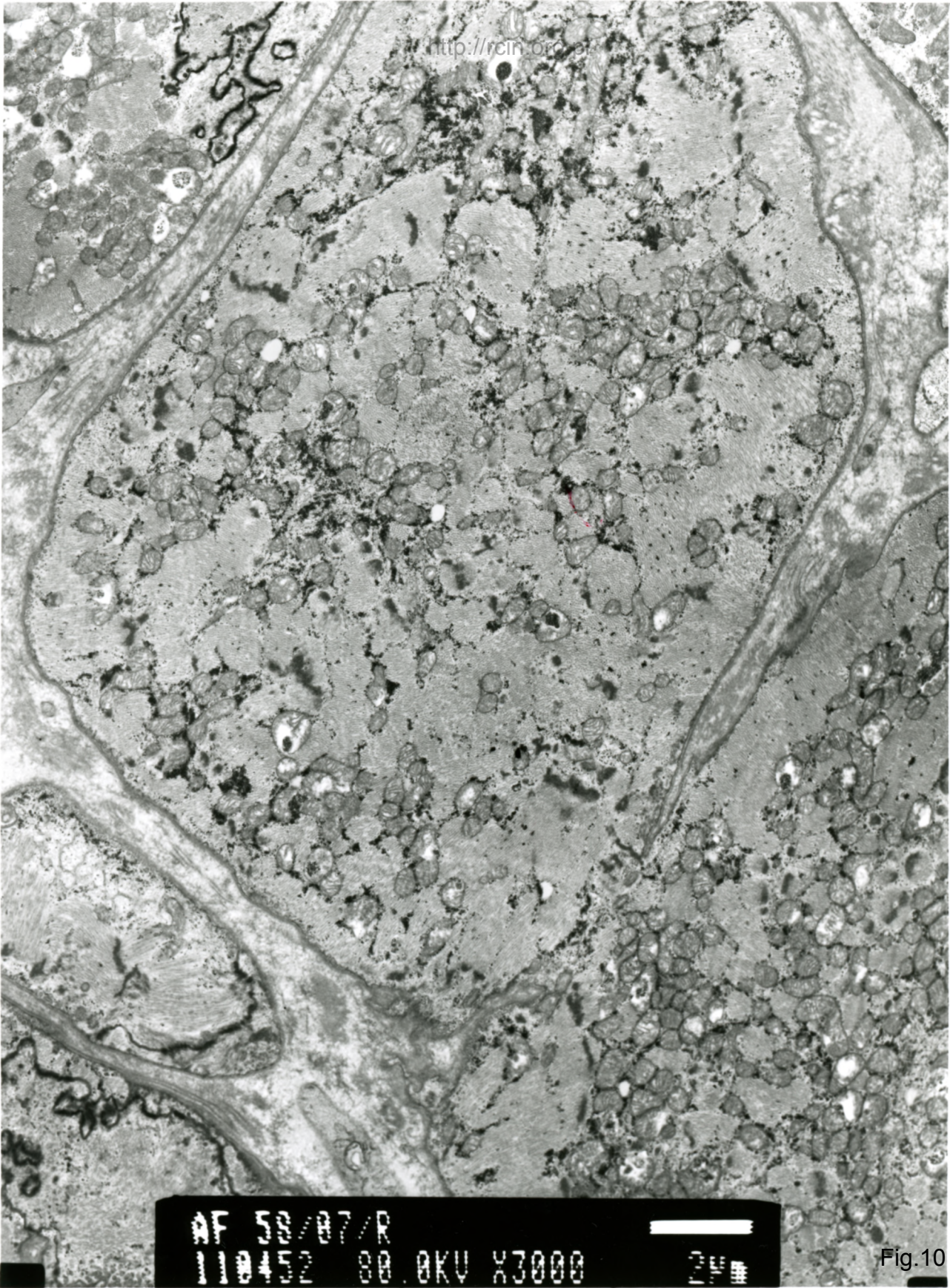
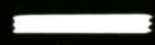


Fig. 9



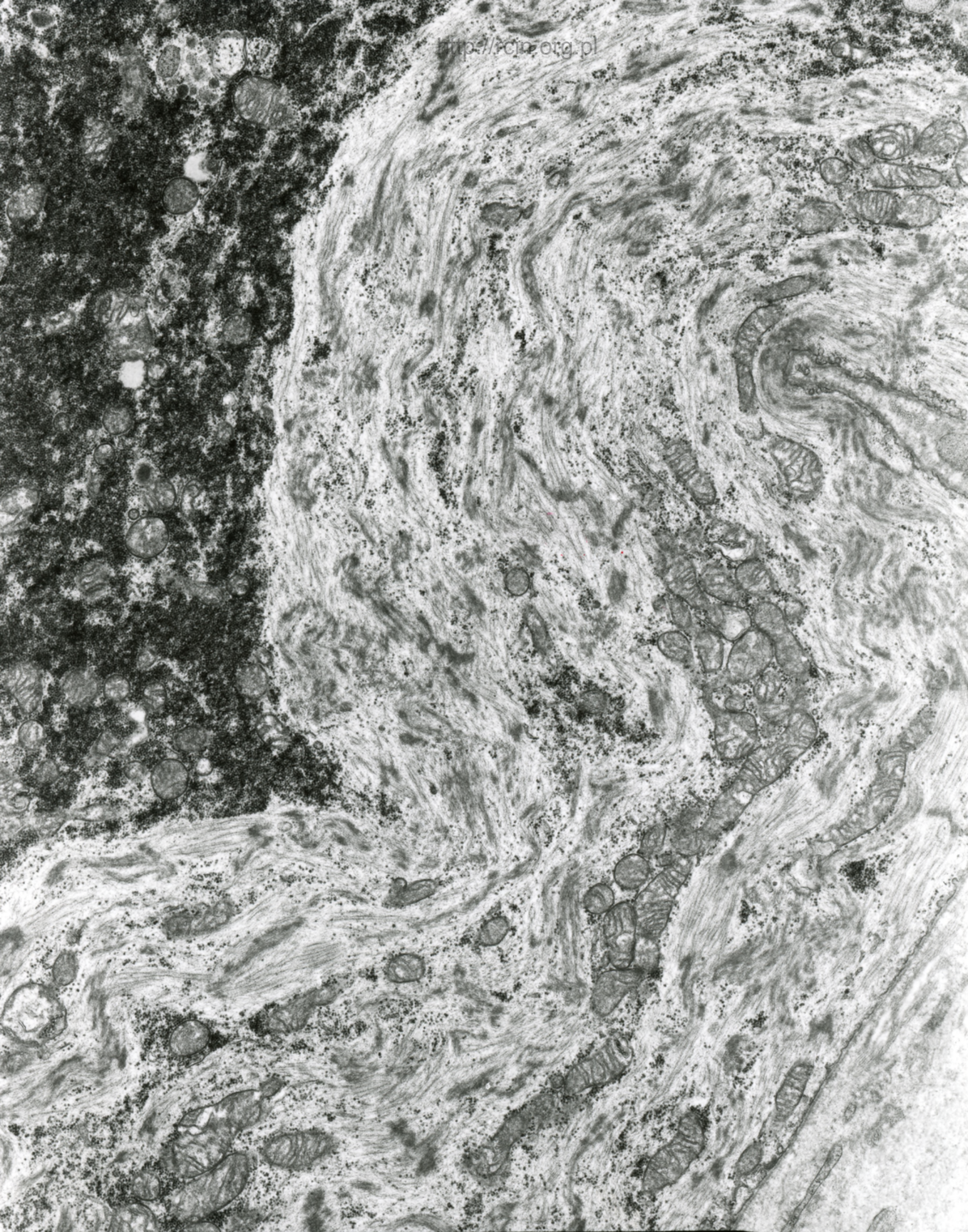
AF 58/07/R

110452 80.0KV X3000



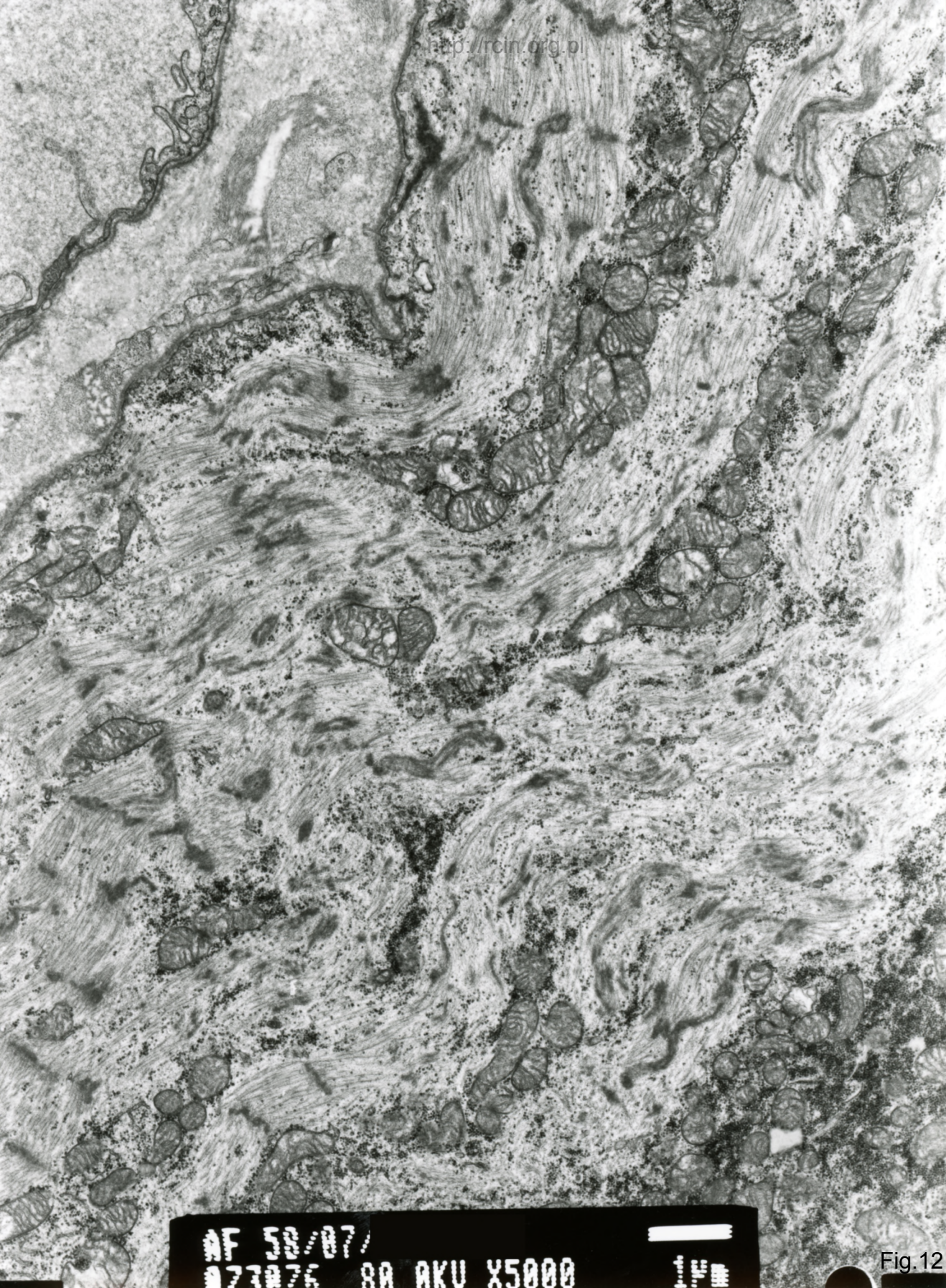
2µm

Fig.10



AF 52/07
073077 80.0KV X5000

Fig.11

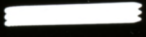


AF 58/07/
073076 80 AKU X5000

Fig.12

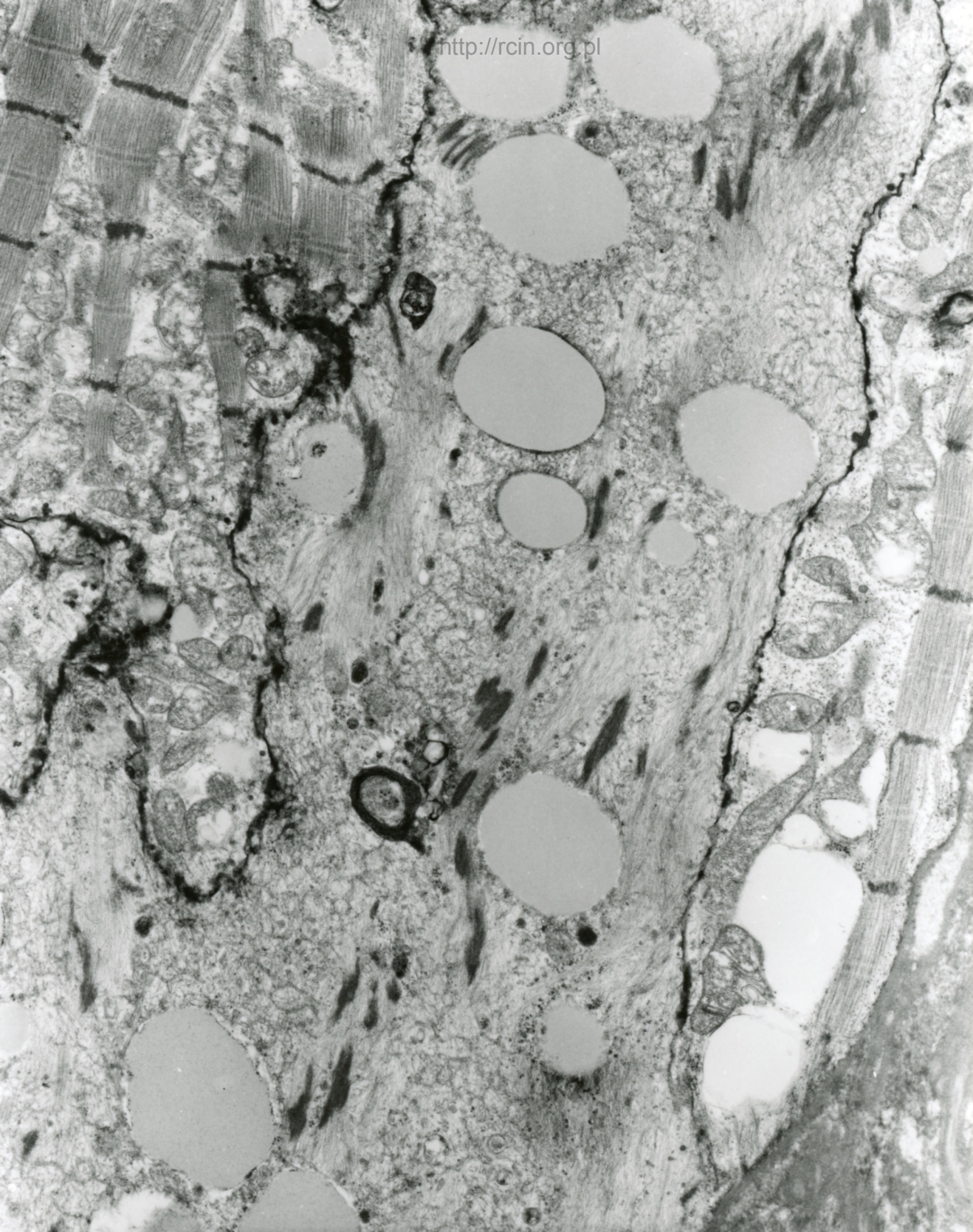


AF 58/07/SERCE
074606 80.0KV X6000



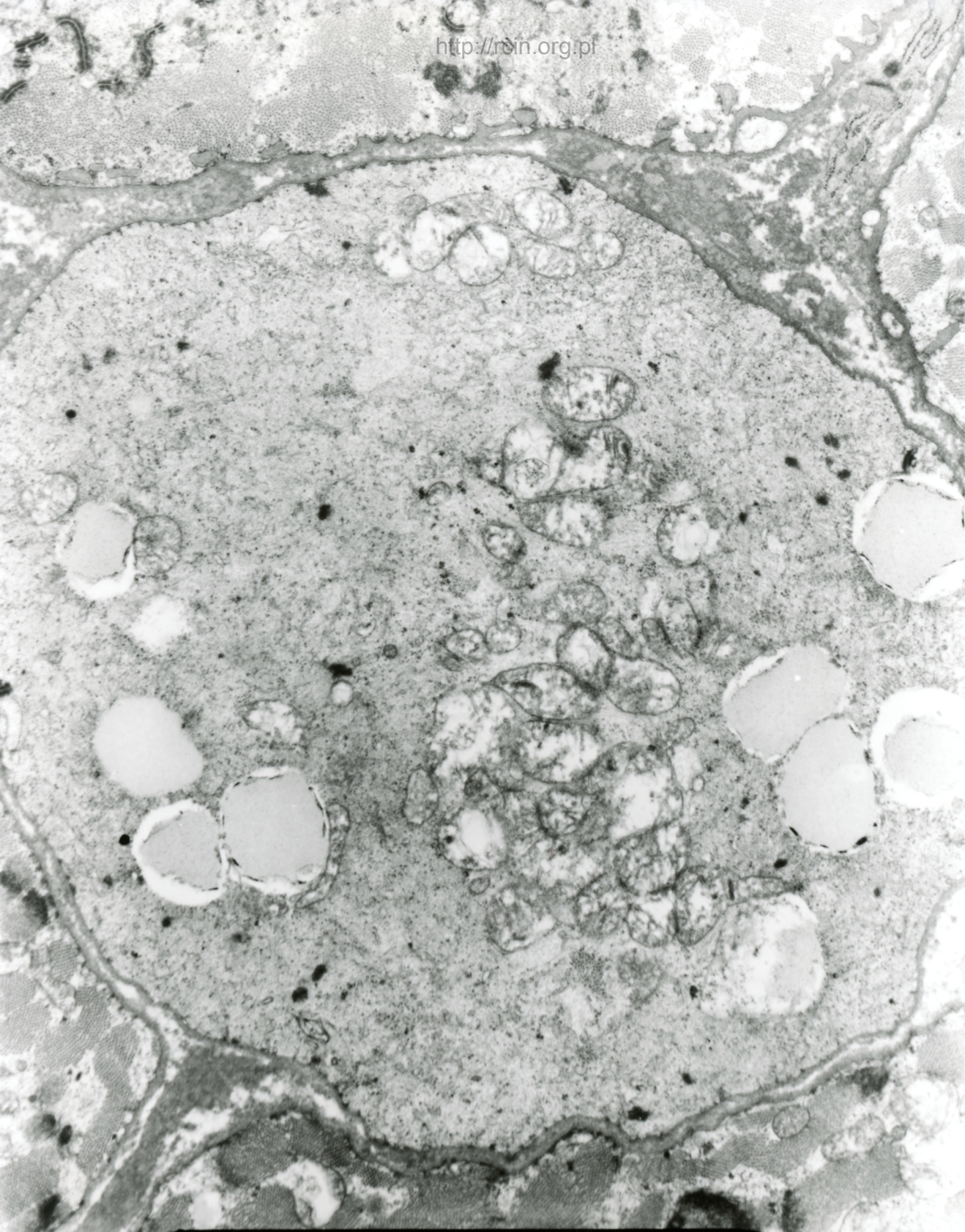
1 μm

Fig.13



AF 58/07/SERCE
074603 80.0KV X5000

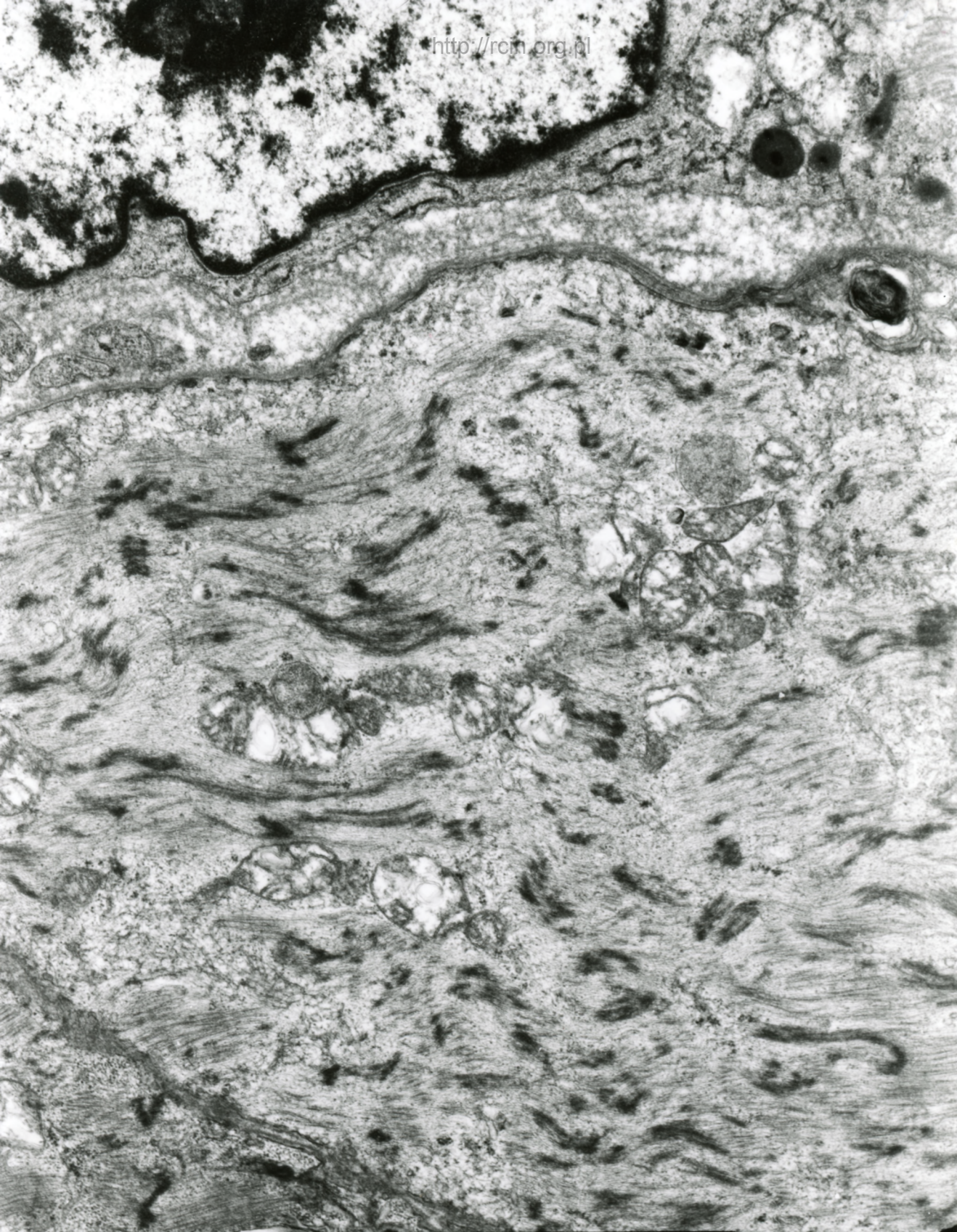
Fig.14



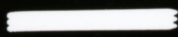
AF 58/07/0
073647 80 0KV X5000



Fig.15

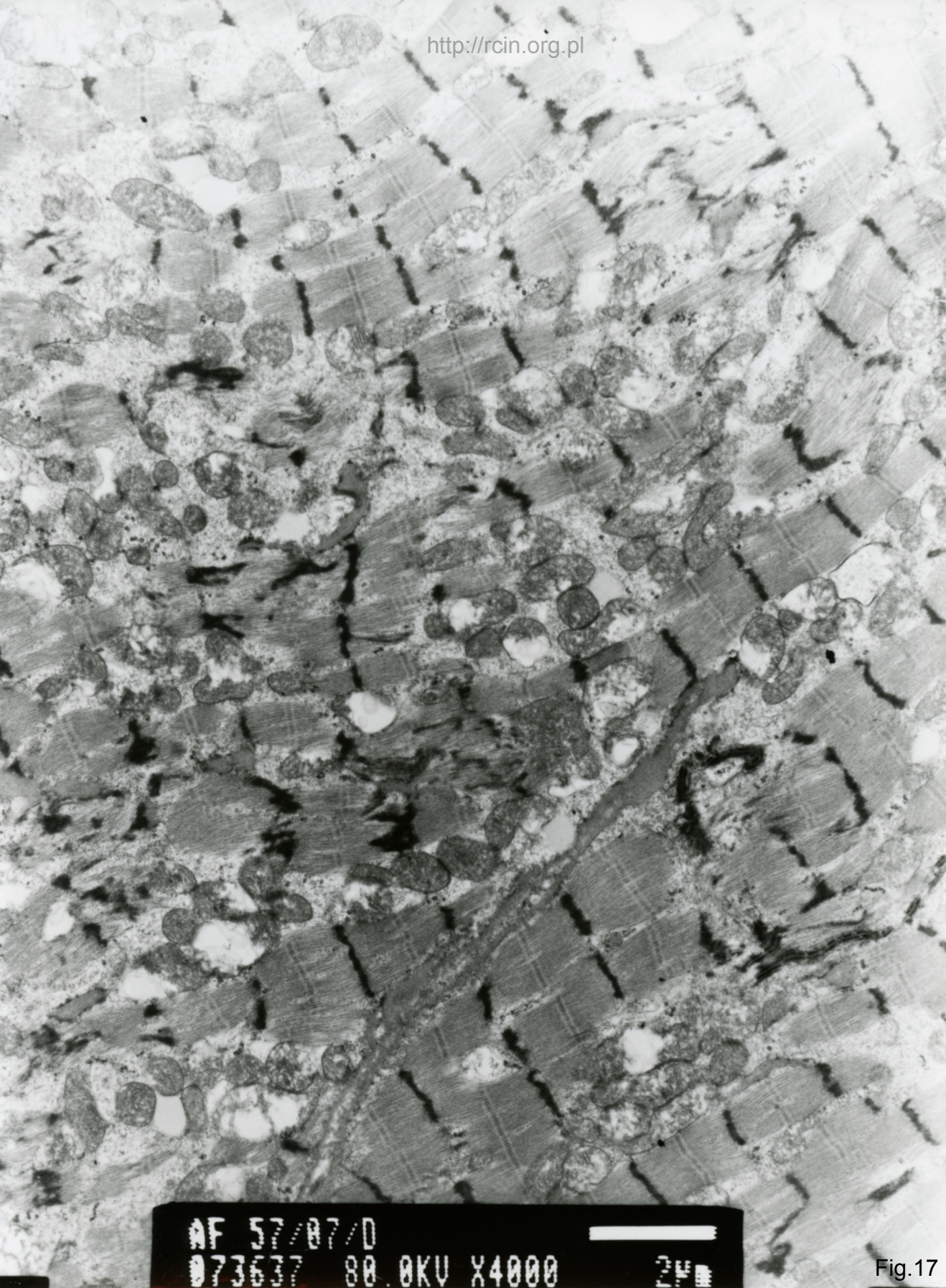


AF 58/07/N/SERCE
077057 00 0K11 Y7500



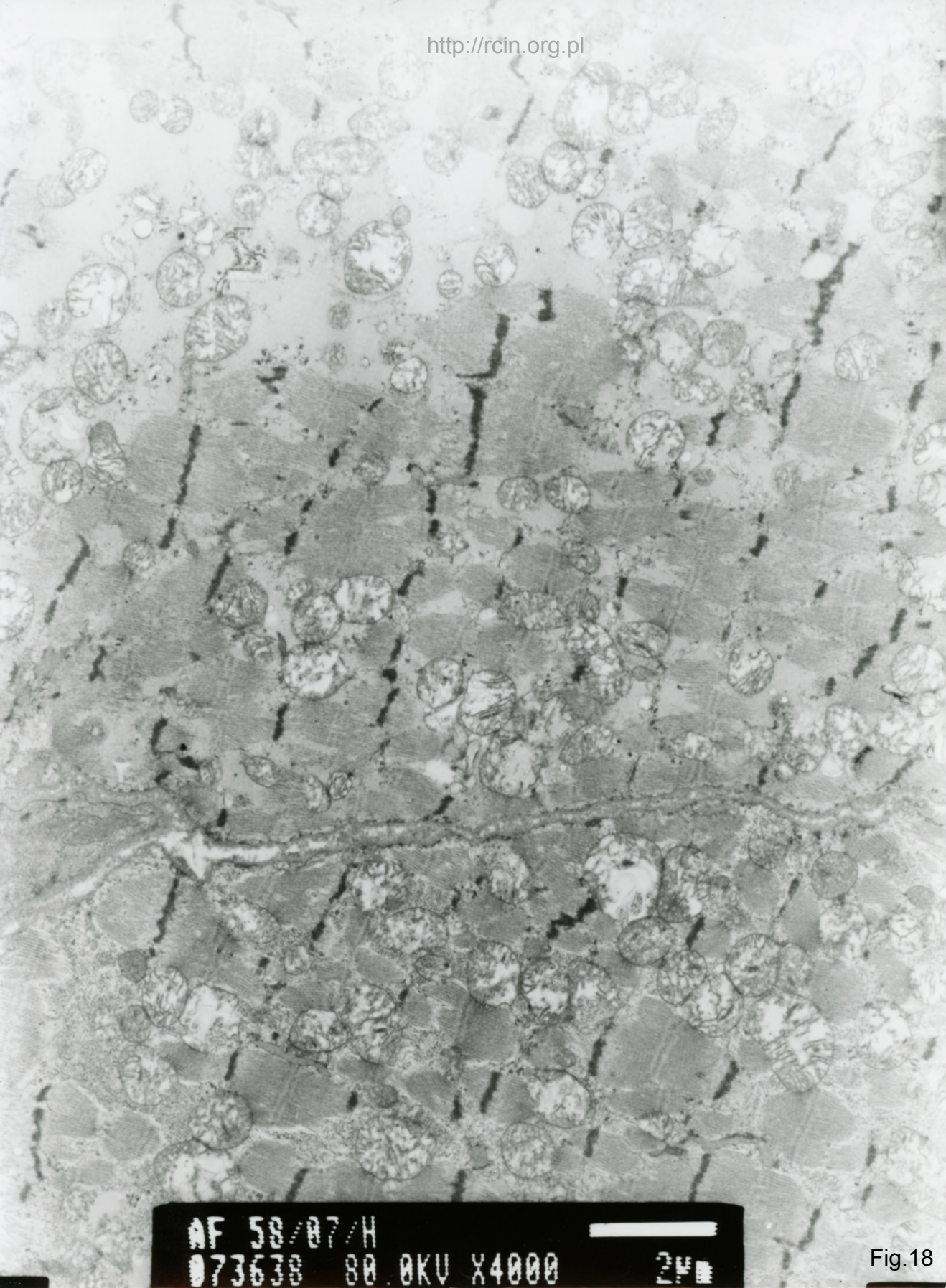
1 μm

Fig.16



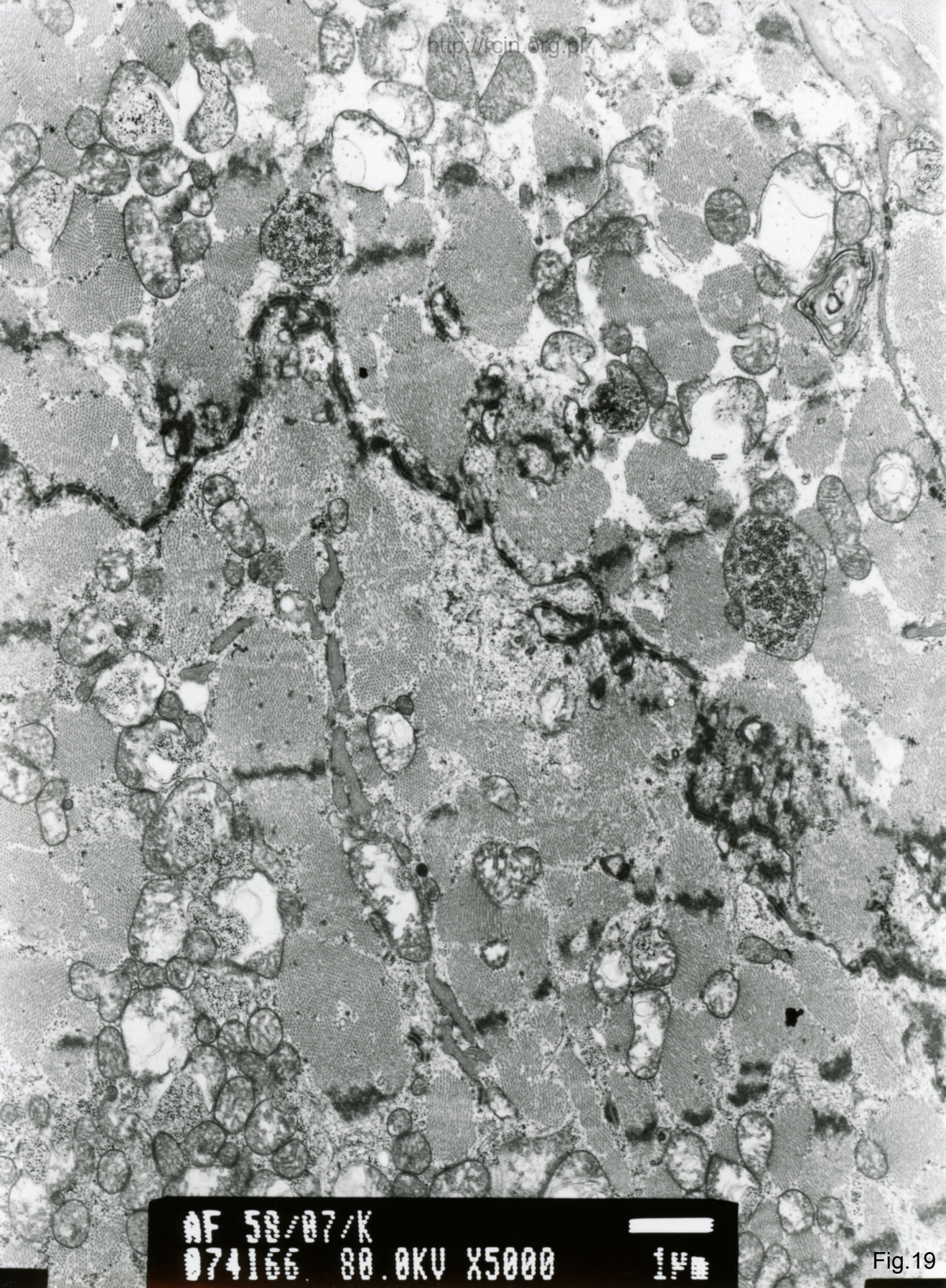
AF 57/07/0
073637 80.0KV X4000 2µm

Fig.17

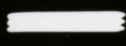


AF 58/07/H
073638 80.0KV X4000 24

Fig.18

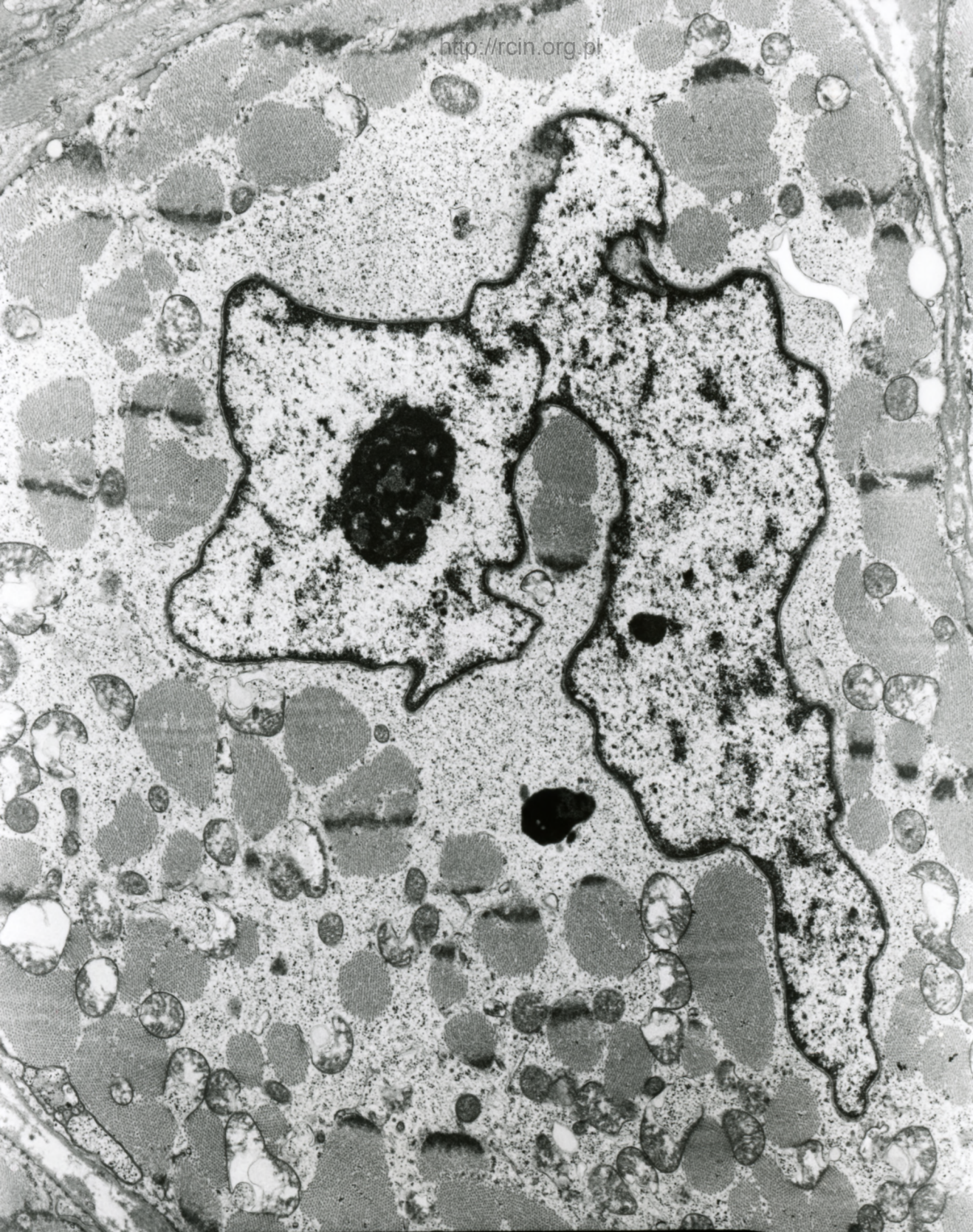


AF 58/07/K
074166 80.0KV X5000



1µm

Fig.19



AF 58/07/K
074165 80.0KV X4000 2µm

Fig.20



http://www.ncbi.nlm.nih.gov/pmc

AF 58/07/ 073003 80.0KV X6000 14

Fig.21

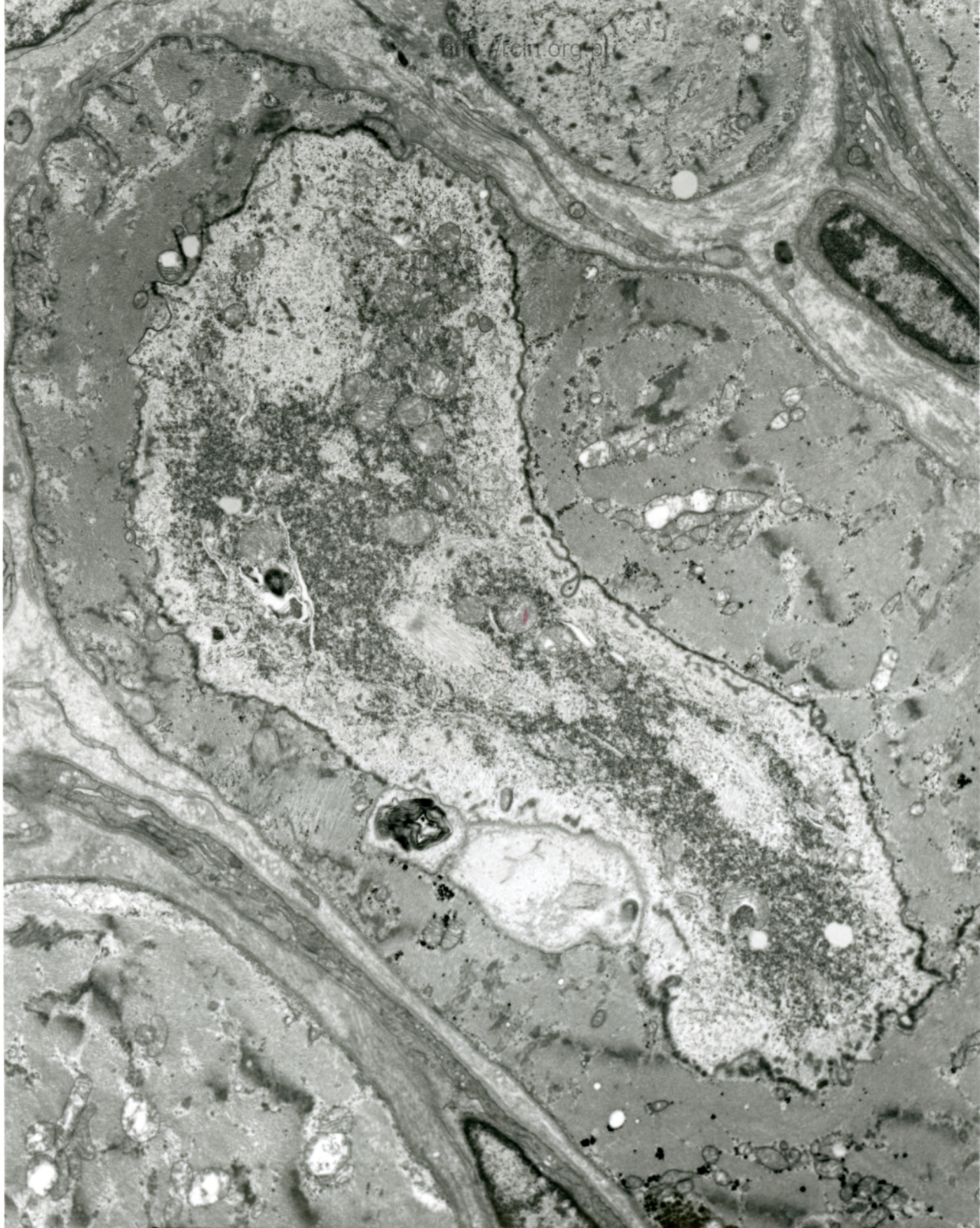


AF 58/07/J
074159 80.0KV X5000



1µm

Fig.22



AF 58/07/R
110451 80.0KV X3000 2µm

Fig.23



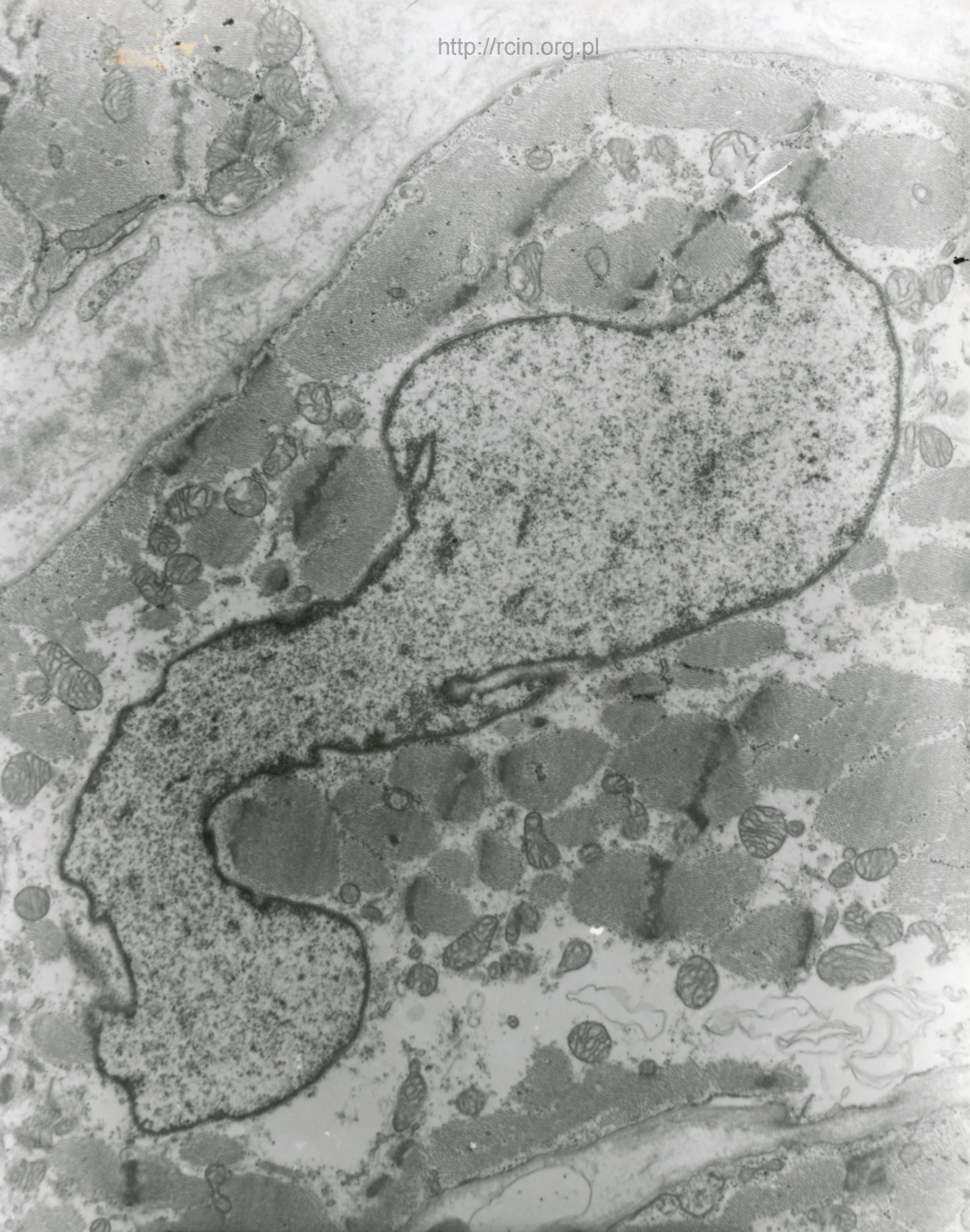
AF 58/07/SERCE
074600 80 0KV X3000 2µm

Fig.24



AF 58/07
073074 80.0KV X5000 1/4

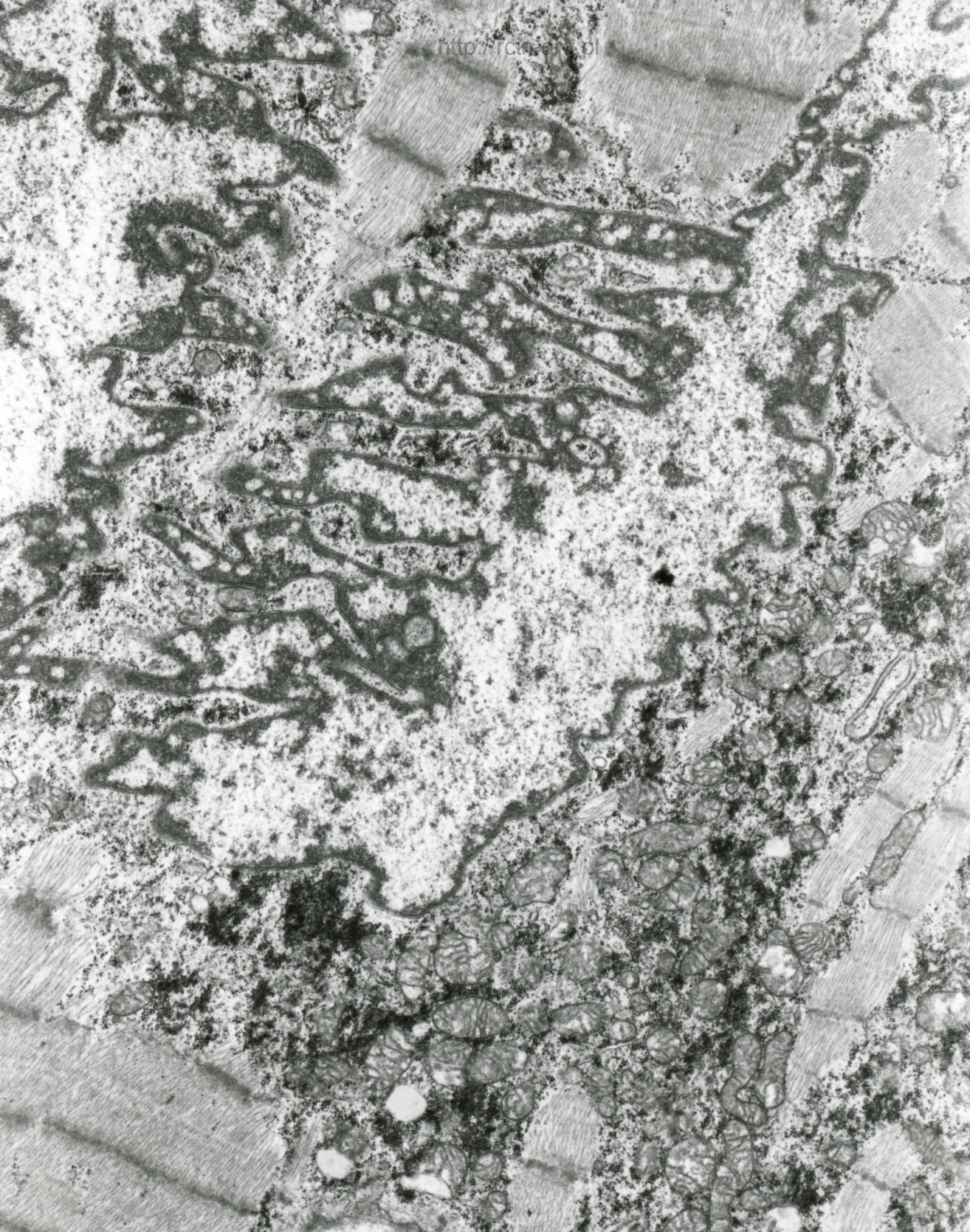
Fig.25



AF 58/07/0
073650 80 0KV X4000 24

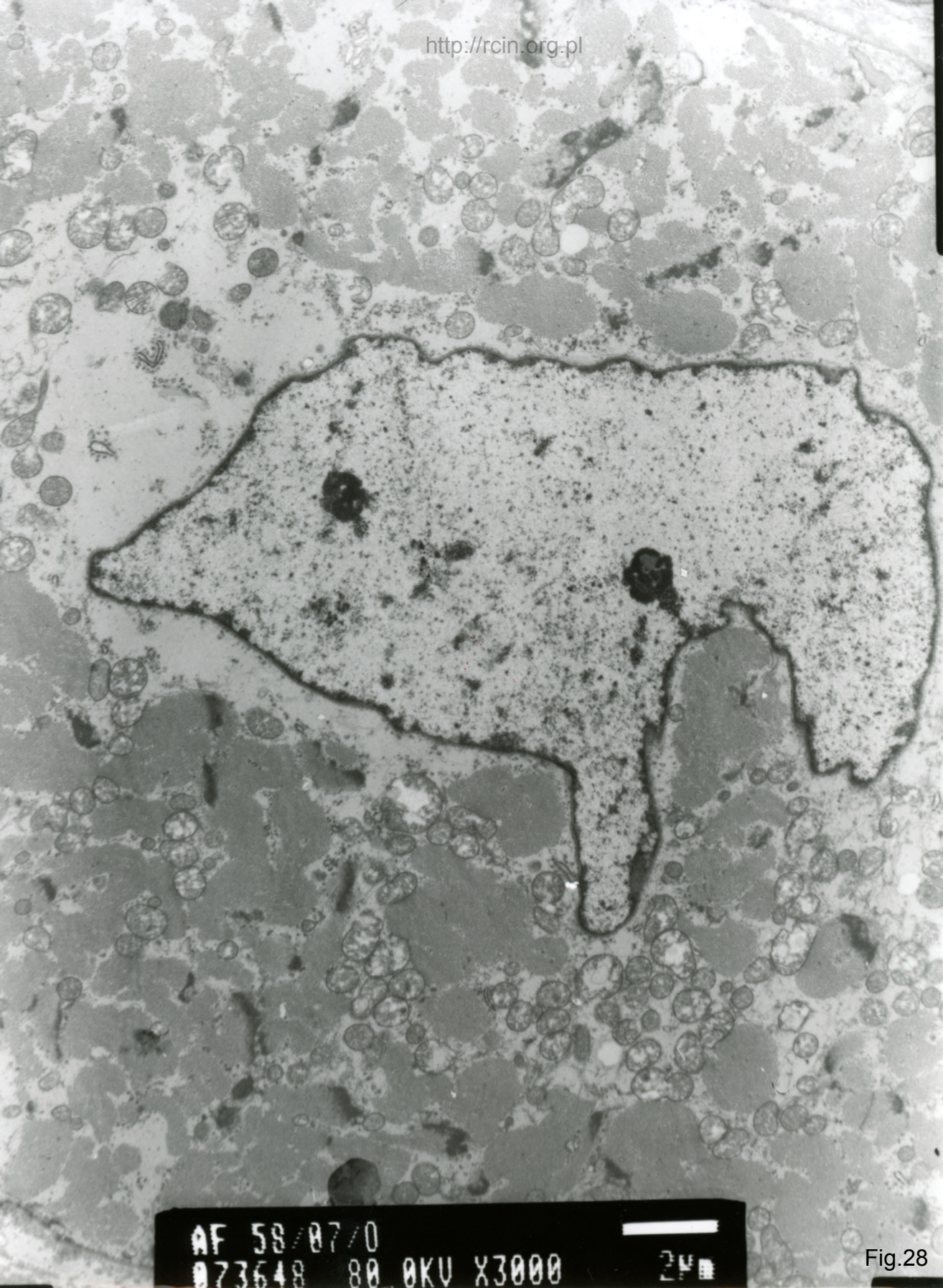
Fig.26

http://rcin.org.pl



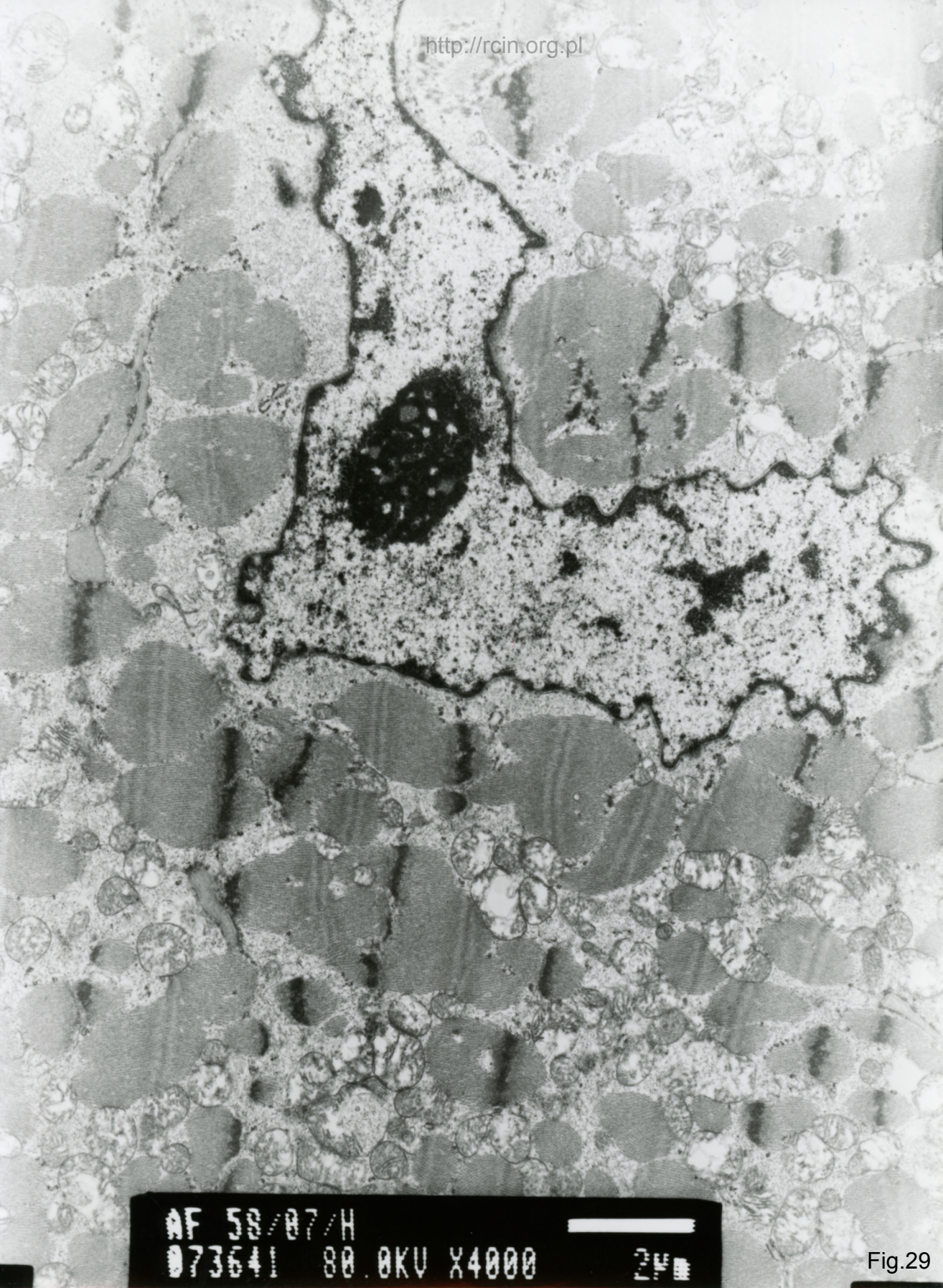
AF 58/07/
073075 80.0KV X5000 1µm

Fig 27



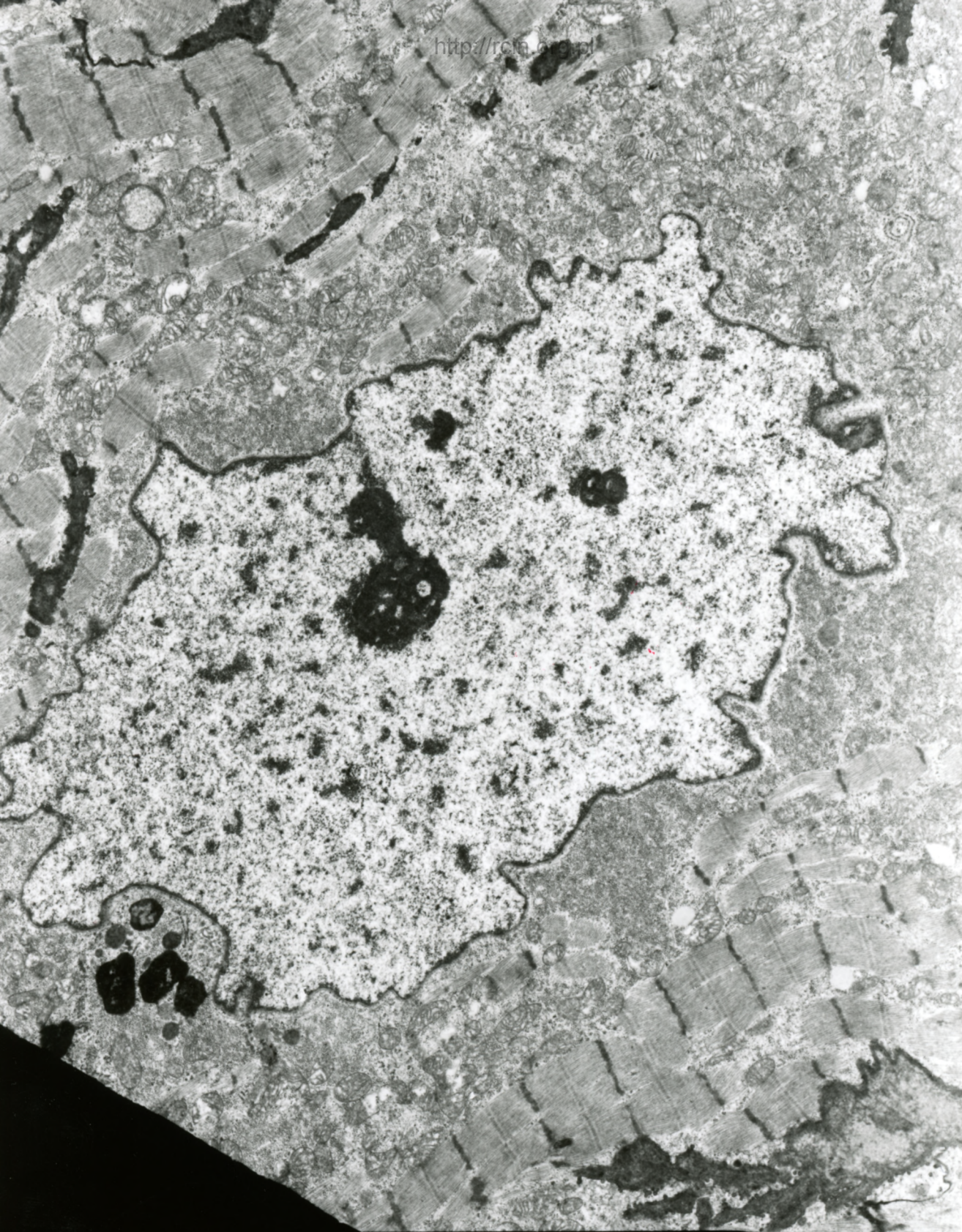
AF 58/07/0
073648 80 0KV X3000 24

Fig.28



AF 58/07/H
073641 80.0KV X4000 24

Fig.29

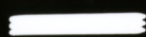


AF 58/07/

073001

80.0KV

X3000



2µm

Fig.30

58/07 (patrz też 63/07 oraz 67/07- biopsja mięśnia szkieletowego)

Niescalenie mięśnia sercowego

Analiza ultrastrukturalna wykazała dezorganizację aparatu kurczliwego w większości kardiomiocytów (Fig. 1-13). Czasami w sarkoplazmie zmienionych komórek obecne były krople tłuszczu (Fig. 14, 15). Mitochondria zmienionych kardiomiocytów charakteryzowały się jasną elektronowo macierzą i pozbawione były grzebieni (Fig. 16-19). Jądra komórek mięśnia sercowego posiadały nieregularny kształt i wgłobienia w otoczce jądrowej (Fig. 20-30).

Myocardial noncompaction

Ultrastructural analysis showed disorganization of the contractile apparatus in the most of cardiomyocytes (Figs. 1-13). Fat droplets were sometimes present in the sarcoplasm of the altered cells (Fig. 14, 15). Mitochondria of altered cardiomyocytes were characterized by electron-bright matrix and were devoid of mitochondrial cristae (Figs. 16-19). Cardiomyocyte nuclei had an irregular shape and indentations in the nuclear envelope (Figs. 20-30).